

HBS PLATE EVO

VIS À TÊTE TRONCONIQUE

ICC
ES CE
AC233 | AC257 ETA-11/0030
ESR-4645

REVÊTEMENT C4 EVO

HBS PLATE version EVO conçue pour des assemblages acier-bois en extérieur. Classe de résistance à la corrosion atmosphérique (C4) testée par le Research Institutes of Sweden - RISE. Revêtement adapté aux applications sur bois dont le niveau d'acidité (pH) est supérieur à 4, comme le sapin, le mélèze et le pin (voir page 314).

NOUVELLE GÉOMÉTRIE

Le diamètre du noyau interne des vis de Ø8, Ø10 et Ø12 mm a été augmenté pour assurer une meilleure performance dans les applications sur des plaques épaisses. Dans les assemblages acier-bois, la nouvelle géométrie permet d'augmenter la résistance de plus de 15 %.

FIXATION DE PLAQUES

Le sous tête tronconique génère un effet d'encastrement avec le trou circulaire de la plaque et garantit d'excellentes performances statiques. La géométrie sans arête de la tête réduit les points de concentration de l'effort et donne de la force à la vis.



DIAMÈTRE [mm]

3,5 12 12

LONGUEUR [mm]

25 200 200

CLASSE DE SERVICE

SC1 SC2 SC3

CORROSIVITÉ ATMOSPHERIQUE

C1 C2 C3 C4

CORROSIVITÉ DU BOIS

T1 T2 T3

MATÉRIAU



acier au carbone avec revêtement C4 EVO



DOMAINES D'UTILISATION

- panneaux à base de bois
- bois massif et lamellé-collé
- CLT et LVL
- bois à haute densité
- bois traités ACQ, CCA

CODES ET DIMENSIONS

HBS P EVO

	d ₁ [mm]	CODE	L [mm]	b [mm]	A _T [mm]	A _P [mm]	pcs.
TX 25	5	HBSPEVO550	50	30	20	1÷10	200
		HBSPEVO560	60	35	25	1÷10	200
		HBSPEVO570	70	40	30	1÷10	100
		HBSPEVO580	80	50	30	1÷10	100
TX 30	6	HBSPEVO680	80	50	30	1÷10	100
		HBSPEVO690	90	55	35	1÷10	100



RAPTOR

PLAQUE DE TRANSPORT POUR
ÉLÉMENTS EN BOIS

METAL-to-TIMBER recommended use:

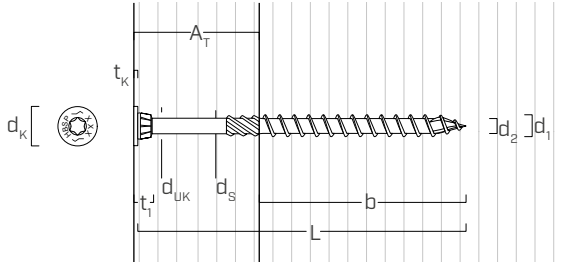


HBS PLATE EVO

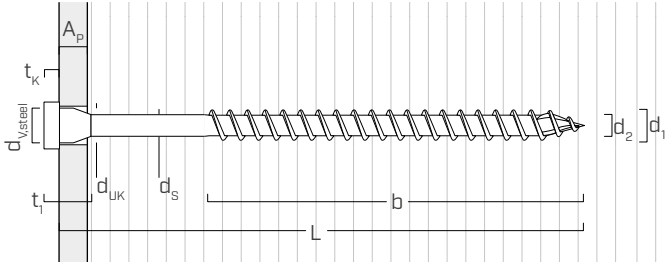
	d ₁ [mm]	CODE	L [mm]	b [mm]	A _T [mm]	A _P [mm]	pcs.
TX 40	8	HBSPLEVO840	40	32	8	1÷10	100
		HBSPLEVO860	60	52	8	1÷15	100
		HBSPLEVO880	80	55	25	1÷15	100
		HBSPLEVO8100	100	75	25	1÷15	100
TX 40	10	HBSPLEVO8120	120	95	25	1÷15	100
		HBSPLEVO8140	140	110	30	1÷20	100
		HBSPLEVO8160	160	130	30	1÷20	100
		HBSPLEVO1060	60	52	8	1÷15	50
TX 50	10	HBSPLEVO1080	80	60	20	1÷15	50
		HBSPLEVO10100	100	75	25	1÷15	50
		HBSPLEVO10120	120	95	25	1÷15	50
		HBSPLEVO10140	140	110	30	1÷20	50
TX 50	12	HBSPLEVO10160	160	130	30	1÷20	50
		HBSPLEVO10180	180	150	30	1÷20	50
		HBSPLEVO12120	120	90	30	1÷15	25
		HBSPLEVO12140	140	110	30	1÷20	25
	12	HBSPLEVO12160	160	120	40	1÷20	25
		HBSPLEVO12180	180	140	40	1÷30	25
		HBSPLEVO12200	200	160	40	1÷30	25

GÉOMÉTRIE ET CARACTÉRISTIQUES MÉCANIQUES

HBS P EVO - 5,0 | 6,0 mm



HBS PLATE EVO - 8,0 | 10,0 | 12,0 mm



Diamètre nominal	d ₁ [mm]	5	6	8	10	12
Diamètre tête	d _K [mm]	9,65	12,00	13,50	16,50	18,50
Diamètre noyau	d ₂ [mm]	3,40	3,95	5,90	6,60	7,30
Diamètre tige	d _S [mm]	3,65	4,30	6,30	7,20	8,55
Épaisseur tête	t ₁ [mm]	5,50	6,50	13,50	16,50	19,50
Épaisseur de la rondelle	t _K [mm]	1,00	1,50	4,50	5,00	5,50
Diamètre sous tête	d _{UK} [mm]	6,00	8,00	10,00	12,00	13,00
Diamètre trou sur plaque en acier	d _{V,steel} [mm]	7,0	9,0	11,0	13,0	14,0
Diamètre pré-perçage ⁽¹⁾	d _{V,S} [mm]	3,0	4,0	5,0	6,0	7,0
Diamètre pré-perçage ⁽²⁾	d _{V,H} [mm]	4,0	5,0	6,0	7,0	8,0
Résistance caractéristique à la traction	f _{tens,k} [kN]	7,9	11,3	32,0	40,0	50,0
Moment plastique caractéristique	M _{y,k} [Nm]	5,4	9,5	33,4	45,0	65,0

(1) Pré-perçage valable pour bois de conifère (softwood).

(2) Pré-perçage valable pour bois durs (hardwood) et pour LVL en bois de hêtre.

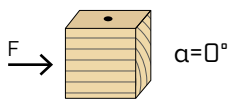
		bois de conifère (softwood)	LVL de conifère (LVL softwood)	LVL de hêtre pré-percé (beech LVL predrilled)
Résistance à l'arrachement	f _{ax,k} [N/mm ²]	11,7	15,0	29,0
Résistance à la pénétration de la tête	f _{head,k} [N/mm ²]	10,5	20,0	-
Densité associée	ρ _a [kg/m ³]	350	500	730
Densité de calcul	ρ _k [kg/m ³]	≤ 440	410 ÷ 550	590 ÷ 750

Pour des applications avec des matériaux différents, veuillez-vous reporter au document ATE-11/0030.

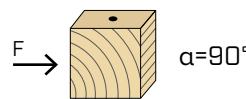
DISTANCES MINIMALES POUR VIS SOLICITÉES AU CISAILLEMENT

vis insérées SANS pré-perçage

$\rho_k \leq 420 \text{ kg/m}^3$



F $\alpha=0^\circ$



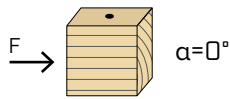
F $\alpha=90^\circ$

d_1 [mm]	5	6	8	10	12
a_1 [mm]	10·d	50	60	80	100
a_2 [mm]	5·d	25	30	40	50
$a_{3,t}$ [mm]	15·d	75	90	120	150
$a_{3,c}$ [mm]	10·d	50	60	80	100
$a_{4,t}$ [mm]	5·d	25	30	40	50
$a_{4,c}$ [mm]	5·d	25	30	40	50

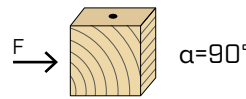
d_1 [mm]	5	6	8	10	12
a_1 [mm]	5·d	25	30	40	50
a_2 [mm]	5·d	25	30	40	50
$a_{3,t}$ [mm]	10·d	50	60	80	100
$a_{3,c}$ [mm]	10·d	50	60	80	100
$a_{4,t}$ [mm]	10·d	50	60	80	100
$a_{4,c}$ [mm]	5·d	25	30	40	50

vis insérées SANS pré-perçage

$420 \text{ kg/m}^3 < \rho_k \leq 500 \text{ kg/m}^3$



F $\alpha=0^\circ$

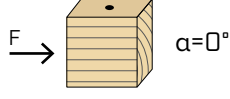


F $\alpha=90^\circ$

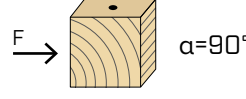
d_1 [mm]	5	6	8	10	12
a_1 [mm]	15·d	75	90	120	150
a_2 [mm]	7·d	35	42	56	70
$a_{3,t}$ [mm]	20·d	100	120	160	200
$a_{3,c}$ [mm]	15·d	75	90	120	180
$a_{4,t}$ [mm]	7·d	35	42	56	70
$a_{4,c}$ [mm]	7·d	35	42	56	70

d_1 [mm]	5	6	8	10	12
a_1 [mm]	7·d	35	42	56	70
a_2 [mm]	7·d	35	42	56	70
$a_{3,t}$ [mm]	15·d	75	90	120	150
$a_{3,c}$ [mm]	15·d	75	90	120	150
$a_{4,t}$ [mm]	12·d	60	72	96	120
$a_{4,c}$ [mm]	7·d	35	42	56	70

vis insérées AVEC pré-perçage



F $\alpha=0^\circ$



F $\alpha=90^\circ$

d_1 [mm]	5	6	8	10	12
a_1 [mm]	5·d	25	30	40	50
a_2 [mm]	3·d	15	18	24	36
$a_{3,t}$ [mm]	12·d	60	72	96	120
$a_{3,c}$ [mm]	7·d	35	42	56	84
$a_{4,t}$ [mm]	3·d	15	18	24	36
$a_{4,c}$ [mm]	3·d	15	18	24	36

d_1 [mm]	5	6	8	10	12
a_1 [mm]	4·d	20	24	32	40
a_2 [mm]	4·d	20	24	32	48
$a_{3,t}$ [mm]	7·d	35	42	56	70
$a_{3,c}$ [mm]	7·d	35	42	56	70
$a_{4,t}$ [mm]	7·d	35	42	56	70
$a_{4,c}$ [mm]	3·d	15	18	24	36

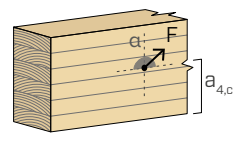
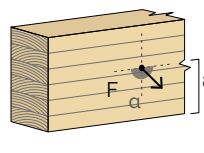
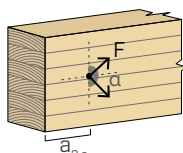
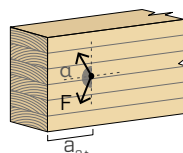
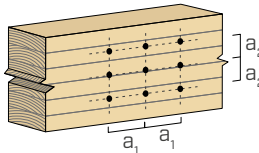
$a =$ angle entre effort et fil du bois
 $d = d_1 =$ diamètre nominal vis

extrémité sollicitée
 $-90^\circ < \alpha < 90^\circ$

extrémité déchargée
 $90^\circ < \alpha < 270^\circ$

bord chargé
 $0^\circ < \alpha < 180^\circ$

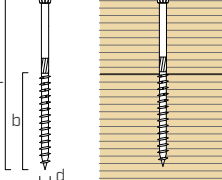
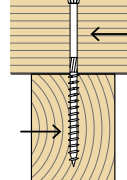
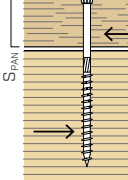
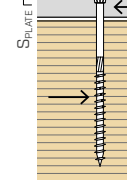
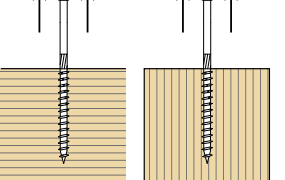
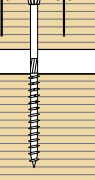
bord non chargé
 $180^\circ < \alpha < 360^\circ$

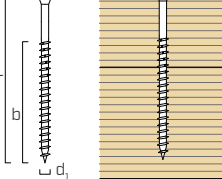
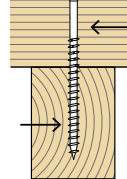
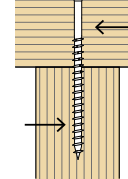
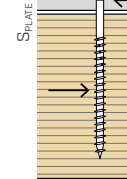
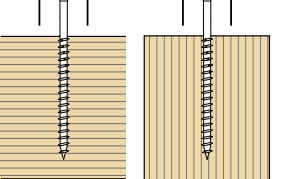


NOTES

- Les distances minimales sont celles de la norme EN 1995:2014, conformément à ATE-11/0030.
- Dans le cas d'un assemblage acier-bois les distances minimales (a_1, a_2) doivent être multipliées par un coefficient de 0,7.
- Dans le cas d'un assemblage panneau-bois les distances minimales (a_1, a_2) doivent être multipliées par un coefficient de 0,85.

- Pour les fixations avec des éléments en sapin de Douglas (*Pseudotsuga menziesii*), les espacements et les distances minimales parallèles à la fibre doivent être multipliés par un coefficient de 1,5.
- L'espacement a_1 indiqué pour des vis avec une pointe 3 THORNS insérées sans pré-perçage dans des éléments en bois avec une densité $\rho_k \leq 420 \text{ kg/m}^3$ et un angle entre force et fibres $\alpha = 0^\circ$ a été fixé à 10·d sur la base d'essais expérimentaux ; en alternative, adopter 12·d conformément à la norme EN 1995:2014.

géométrie				CISAILLEMENT				TRACTION					
				bois-bois $\varepsilon=90^\circ$	panneau-bois	acier-bois plaque mince	acier-bois plaque épaisse	extraction du fillet $\varepsilon=90^\circ$	extraction du fillet $\varepsilon=0^\circ$	pénétration tête			
													
d_1 [mm]	L [mm]	b [mm]	A [mm]	$R_{V,k}$ [kN]	S_{PAN} [mm]	$R_{V,k}$ [kN]	S_{PLATE} [mm]	$R_{V,k}$ [kN]	S_{PLATE} [mm]	$R_{V,k}$ [kN]			
5	50	30	20	1,20	12	1,10	2,5	1,65	5	2,14	1,89	0,57	1,06
	60	35	25	1,33		1,10		1,73		2,22	2,21	0,66	1,06
	70	40	30	1,44		1,10		1,81		2,30	2,53	0,76	1,06
	80	50	30	1,44		1,10		1,97		2,46	3,16	0,95	1,06
6	80	50	30	1,88	15	1,55	3	2,61	6	3,31	3,79	1,14	1,63
	90	55	35	2,03		1,55		2,71		3,40	4,17	1,25	1,63

géométrie				CISAILLEMENT				TRACTION				
				bois-bois $\varepsilon=90^\circ$	bois-bois $\varepsilon=0^\circ$	acier-bois plaque mince	acier-bois plaque épaisse	extraction du fillet $\varepsilon=90^\circ$	extraction du fillet $\varepsilon=0^\circ$	pénétration tête		
												
d_1 [mm]	L [mm]	b [mm]	A [mm]	$R_{V,k}$ [kN]	$R_{V,k}$ [kN]	S_{PLATE} [mm]	$R_{V,k}$ [kN]	S_{PLATE} [mm]	$R_{V,k}$ [kN]	$R_{ax,90,k}$ [kN]	$R_{ax,0,k}$ [kN]	$R_{head,k}$ [kN]
8	40	32	8	1,62	0,85	4	1,95	8	3,83	2,83	0,85	2,07
	60	52	8	1,62	1,35		3,03		5,00	4,85	1,45	2,07
	80	55	25	2,83	1,70		4,11		6,07	5,56	1,67	2,07
	100	75	25	2,83	2,13		5,20		6,78	7,58	2,27	2,07
	120	95	25	2,83	2,33		5,86		7,29	9,60	2,88	2,07
	140	110	30	2,93	2,42		6,24		7,67	11,11	3,33	2,07
	160	130	30	2,93	2,42		6,74		8,17	13,13	3,94	2,07
	60	52	8	2,37	1,56		3,48		5,91	5,68	1,70	3,09
	80	60	20	3,16	2,07		4,75		7,37	7,58	2,27	3,09
	100	75	25	3,65	2,59		6,01		8,50	9,47	2,84	3,09
10	120	95	25	3,65	3,01	5	7,28	10	9,14	12,00	3,60	3,09
	140	110	30	3,75	3,11		7,81		9,61	13,89	4,17	3,09
	160	130	30	3,75	3,11		8,44		10,24	16,42	4,92	3,09
	180	150	30	3,75	3,11		8,68		10,87	18,94	5,68	3,09
	120	90	30	4,69	3,54		8,20		11,27	13,64	4,09	3,88
12	140	110	30	4,69	3,88	6	9,64	12	12,03	16,67	5,00	3,88
	160	120	40	4,97	4,15		10,11		12,41	18,18	5,45	3,88
	180	140	40	4,97	4,15		10,86		13,17	21,21	6,36	3,88
	200	160	40	4,97	4,15		11,12		13,92	24,24	7,27	3,88

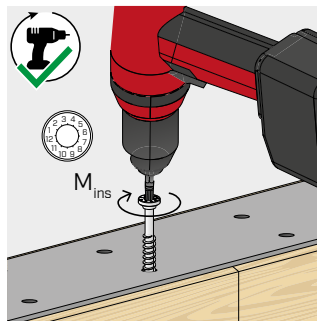
ε = angle entre vis et fibres

NOTES et PRINCIPES GÉNÉRAUX à page 6.

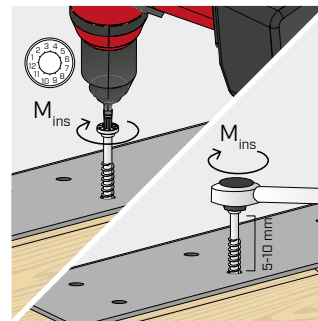
INSTALLATION



L'utilisation de visseuses à impulsions / percussion est interdite.

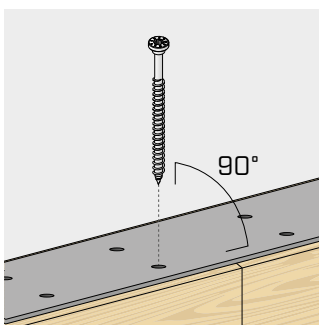


Vérifier le serrage.

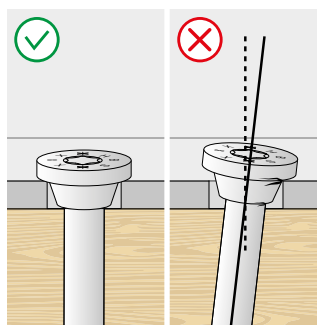


Nous conseillons l'utilisation de visseuses à contrôle de couple, par exemple avec TORQUE LIMITER. En alternative, serrer à l'aide d'une clé dynamométrique.

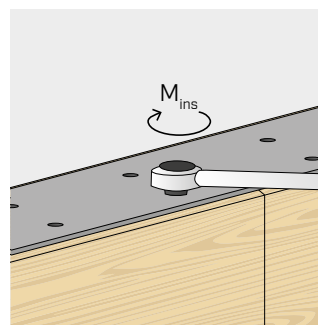
HBSP HBSPL	d ₁ [mm]	M _{ins,rec} [Nm]
Ø8	8	18
Ø10	10	25
Ø12	12	40



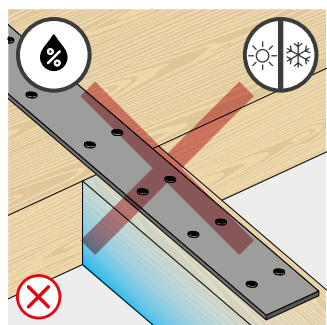
Respecter l'angle d'insertion. Pour des inclinaisons très précises, il est conseillé d'utiliser le trou de guidage ou le pré-perçage.



Garantir un contact complet entre la surface de la tête de la vis et l'élément métallique.



Une fois l'installation terminée, les dispositifs de fixation peuvent être inspectés à l'aide d'une clé dynamométrique.



Éviter les altérations des dimensions du métal et les phénomènes de retrait et de gonflement du bois.

VALEURS STATIQUES

PRINCIPES GÉNÉRAUX

- Les valeurs caractéristiques sont celles de la norme EN 1995:2014 conformément à ATE-11/0030.
- Les valeurs de calcul sont obtenues à partir des valeurs caractéristiques suivantes :
$$R_d = \frac{R_k k_{mod}}{\gamma_M}$$
- Les coefficients γ_M et k_{mod} sont établis en fonction de la réglementation en vigueur utilisée pour le calcul.
- Pour les valeurs de résistance mécanique et pour la géométrie des vis, il a été fait référence à ce qui est reporté dans ATE-11/0030.
- Le dimensionnement et la vérification des éléments en bois, des panneaux et des plaques métalliques doivent être réalisés séparément.
- Le positionnement des vis doit être réalisé dans le respect des distances minimales.
- Les résistances caractéristiques au cisaillement sont évaluées pour les vis insérées sans pré-perçage. Si les vis sont insérées avec un pré-perçage, il est possible d'obtenir des valeurs de résistance plus élevées.
- Les résistances au cisaillement ont été calculées en considérant la partie filetée entièrement insérée dans le deuxième élément.
- Les résistances caractéristiques au cisaillement panneau-bois sont évaluées en considérant un panneau OSB3 ou OSB4 conforme à la norme EN 300 ou un panneau de particules conforme à la norme EN 312 d'épaisseur SPAN et d'une densité 500 kg/m³.
- Les résistances caractéristiques à l'extraction du filetage ont été évaluées en considérant une longueur d'implantation égale à B.
- La résistance caractéristique de pénétration de la tête a été calculée un élément en bois ou une base en bois. Dans le cas d'assemblage acier-bois la résistance à la traction de l'acier est généralement déterminante par rapport à l'arrachement ou à la pénétration de la tête.
- En cas de contraintes combinées de cisaillement et de traction, la vérification suivante doit être effectuée :

$$\left(\frac{F_{v,d}}{R_{v,d}}\right)^2 + \left(\frac{F_{ax,d}}{R_{ax,d}}\right)^2 \leq 1$$

- Dans le cas d'assemblages acier-bois avec une plaque épaisse, il est nécessaire d'évaluer les effets de la déformation du bois et d'installer les connecteurs conformément aux instructions de montage.
- Les valeurs indiquées dans le tableau sont évaluées en tenant compte des paramètres de résistance mécanique des vis HBS PLATE EVO Ø10 et Ø12, obtenus analytiquement et validés par des essais expérimentaux.
- Pour des configurations de calcul différentes, le logiciel MyProject est disponible (www.rothoblaas.fr).

NOTES

- Les résistances caractéristiques au cisaillement bois-bois ont été évaluées en considérant aussi bien un angle ϵ de 90 ° ($R_{V,90,k}$) qu'un angle de 0 ° ($R_{V,0,k}$) entre les fibres du deuxième élément et le connecteur.
- Les résistances caractéristiques au cisaillement panneau-bois et acier-bois ont été évaluées en considérant un angle ϵ de 90 ° entre les fibres de l'élément en bois et le connecteur.
- Les résistances caractéristiques au cisaillement sur plaque sont évaluées en considérant le cas d'une plaque fine ($S_{PLATE} = 0,5 d_1$) et d'une plaque épaisse ($S_{PLATE} = d_1$).
- Les résistances caractéristiques à l'extraction du filetage ont été évaluées en considérant aussi bien un angle ϵ de 90 ° ($R_{ax,90,k}$) qu'un angle de 0 ° ($R_{ax,0,k}$) entre les fibres de l'élément en bois et le connecteur.
- Pour le calcul, la masse volumique des éléments en bois a été estimée à $\rho_k = 385 \text{ kg/m}^3$. Pour des valeurs de ρ_k différentes, les résistances indiquées dans le tableau (cisaillement bois-bois, cisaillement acier-bois et traction) peuvent être converties par le coefficient k_{dens} (voir page 215).
- Pour d'autres configurations de calcul et pour des applications sur différents matériaux, voir la page 212.